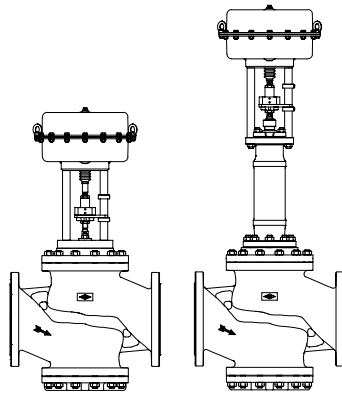


Mit pneumatischen und elektrischen Antrieben

ARI-STEVI® 422 / 462

**Pneumatischer Antrieb
 ARI-DP 34 - 35**

- Antrieb reversierbar
- Antrieb mit Rollmembran
- Stelldruck max. 6 bar
- Spindel durch Faltenbalg geschützt
- Wartungsarme O-Ring-Abdichtung mit flexibler Führung
- Anbau von Zusatzteilen gemäß DIN IEC 60534-6



Seite 4

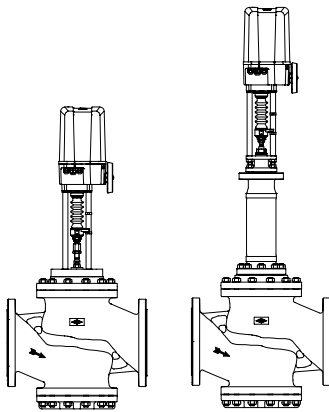


Fig. 422

ARI-STEVI® 422 / 462

**Elektrischer Antrieb
 ARI-PREMIO 5 kN - 25 kN
 ARI-PREMIO-Plus 2G 5 kN - 25 kN**

- Schutzart IP 65
- 2 Drehmomentschalter
- Handnotbetätigung
- Zusatzgeräte lieferbar, z.B. Potentiometer



Seite 10

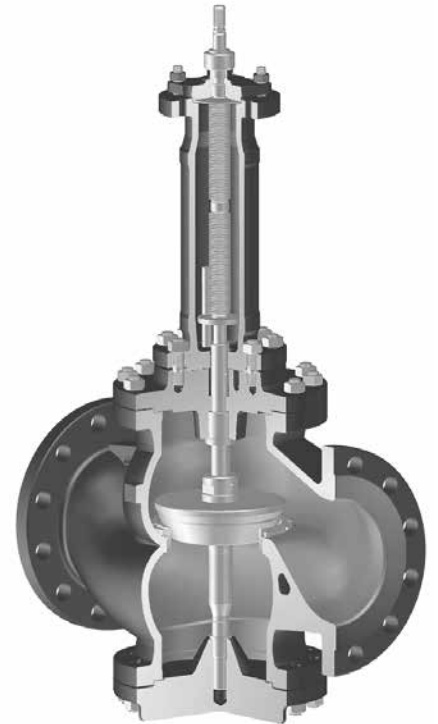
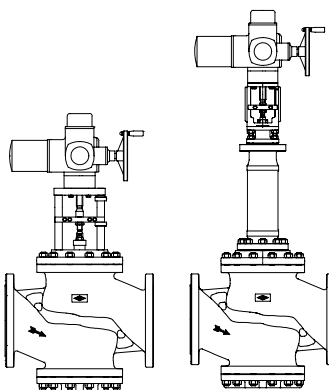


Fig. 462

ARI-STEVI® 422 / 462

**Elektrischer Antrieb
 AUMA SAR 07.6 - 14.6**

- Schutzart IP 67
- 2 Drehmomentschalter
- 2 Wegschalter
- Handnotbetätigung
- Thermoschutz des Motors
- Zusatzgeräte lieferbar, z.B. Potentiometer
- Ex-Ausführung lieferbar



Seite 12

Figur	Nenndruck	Werkstoff	Nennweite	Angaben / Einschränkungen der Regelwerke sind zu beachten!
12.422 / 12.462	PN16	EN-JL1040	DN200-250	ARI-Armaturen aus EN-JL1040 sind für den Einsatz in Anlagen nach TRD 110 nicht freigegeben.
22.422 / 22.462	PN16	EN-JS1049	DN200-250	Die Zulassung zur Herstellung gemäß TRB 801 Nr. 45 ist vorhanden. (EN-JL1040 ist nach TRB 801 Nr. 45 nicht zugelassen.)
34.422 / 34.462	PN25	1.0619+N	DN200-250	Das Einsatzgebiet der Armatur unterliegt der Verantwortung des Anlagenplaners bzw. -betreibers.
35.422 / 35.462	PN40	1.0619+N	DN200-250	Beständigkeit und Eignung sind zu prüfen und beim Hersteller anzufragen (siehe Produktübersicht und Beständigkeitsliste).
Andere Werkstoffe und Ausführungen auf Anfrage.				

Spindelabdichtung		
Fig. 422	standard	optional
	II. PTFE-Packung -10°C bis 250°C	I. EPDM-Abdichtung -10°C bis 150°C (bei Wasser und Wasserdampf bis 180°C zulässig) II. Reingraphit-Packung -10°C bis 450°C

Fig. 462	standard	optional
	III. Edelstahl-Faltenbalg mit Reingraphit-Packung -60°C bis 450°C	III. Edelstahl-Faltenbalg mit EPDM-Abdichtung -60°C bis 150°C (bei Wasser und Wasserdampf bis 180°C zulässig)

Druck-Temperatur-Zuordnung **Zwischenwerte der max. zulässigen Betriebsdrücke dürfen durch lineare Interpolation zwischen dem nächstliegenden niederen und höheren Temperaturwert errechnet werden.**

nach DIN EN 1092-2			-60°C bis <-10°C ¹⁾	-10°C bis 120°C	150°C	200°C	250°C	300°C	350°C	400°C	450°C
EN-JL1040	PN16	(bar)	--	16	14,4	12,8	11,2	9,6	--	--	--
EN-JS1049	PN16	(bar)	auf Anfrage	16	15,5	14,7	13,9	12,8	11,2	--	--

nach ARI-Werknorm			-60°C bis <-10°C ¹⁾	-10°C bis 120°C	150°C	200°C	250°C	300°C	350°C	400°C	450°C
1.0619+N	PN25	(bar)	18,7	25	23,9	22	20	17,2	16	14,8	8,2
1.0619+N	PN40	(bar)	30	40	38,1	35	32	28	25,7	23,8	13,1

¹⁾ Ventil mit verlängertem Ventil-Oberteil, Schrauben und Muttern aus A4-70 (bei Temperaturen unter -10°C)

Kegelausführung standard			Führung	Stellverhältnis
Parabolkegel, metallisch dichtend	- Leckageklasse IV nach DIN EN 60534-4 - Kennlinie: gleichprozentig (glp) (modifiziert) linear (lin)		Kegelschaft	30 : 1
Kegelausführung optional			Führung	Stellverhältnis
Parabolkegel mit PTFE-Weichdichtung (max. 200°C)	- Leckageklasse VI nach DIN EN 60534-4 - Kennlinie: - gleichprozentig (glp) (modifiziert) - linear (lin)		Kegelschaft	30 : 1
Parabolkegel mit Dichtkantenpanzerung	- Leckageklasse IV nach DIN EN 60534-4 - Kennlinie: - gleichprozentig (glp) (modifiziert) - linear (lin)		Kegelschaft	30 : 1
Parabolkegel mit Druckentlastung metallisch dichtend Kolbendichtetelement: PTFE mit Edelstahlfeder (max. 200°C)	- Leckageklasse IV nach DIN EN 60534-4 - Kennlinie: - gleichprozentig (glp) (modifiziert) - linear (lin)		Spindel	30 : 1
Lochkegel metallisch dichtend optional: Druckentlasteter Lochkegel metallisch dichtend Kolbendichtetelement: PTFE mit Edelstahlfeder (max. 200°C)	- Leckageklasse IV nach DIN EN 60534-4 - Kennlinie: - gleichprozentig (glp) (modifiziert) - linear (lin) ➔ Durchflussrichtung für Gase und Dämpfe zur Minderung des Schallpegels ⚡ Durchflussrichtung für Flüssigkeiten bei kritischen Betriebszuständen (Kavitation / Flashing)		Spindel / Sitzring	30 : 1
Lochkegel mit Lochkorb metallisch dichtend	- Leckageklasse IV nach DIN EN 60534-4 - Kennlinie: gleichprozentig (glp) (modifiziert) linear (lin) - mehrstufiger Druckabbau ➔ Durchflussrichtung für Gase / Dämpfe und Flüssigkeiten zur Minderung des Schallpegels bei kritischen Betriebszuständen		Spindel / Sitzring	30 : 1

Stellventil in Durchgangsform mit pneumatischem Antrieb ARI-DP

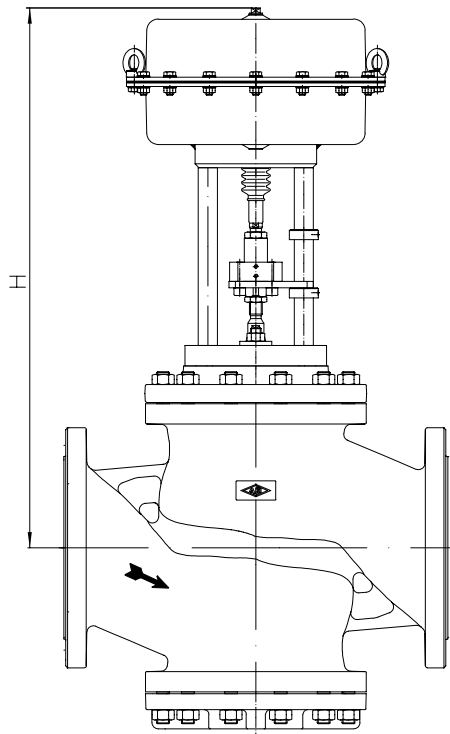


Fig. 422

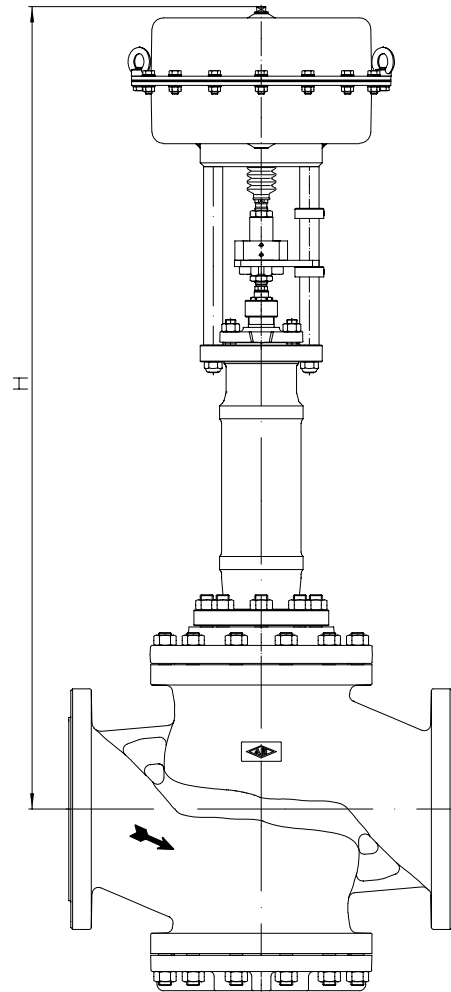
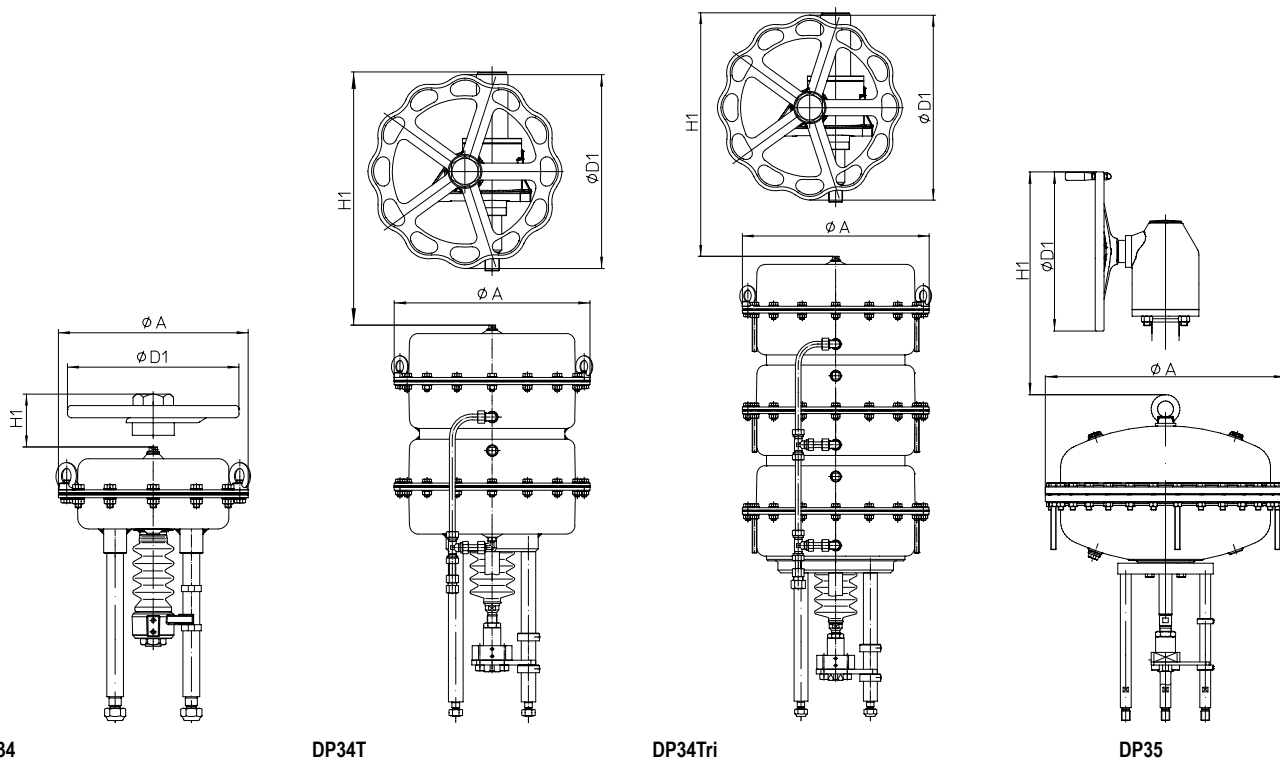


Fig. 462

Bauhöhen und Gewichte

DN				200	250
Fig. 422	DP34	H	(mm)	845	905
		PN16	(kg)	253	365
		PN40	(kg)	286	434
	DP34T	H	(mm)	1095	1155
		PN16	(kg)	324	436
		PN40	(kg)	357	505
	DP34Tri	H	(mm)	1317	1377
		PN16	(kg)	358	470
		PN40	(kg)	391	539
	DP35	H	(mm)	1230	1290
		PN16	(kg)	523	635
		PN40	(kg)	556	704
Fig. 462	DP34	H	(mm)	1294	1354
		PN16	(kg)	275	388
		PN40	(kg)	302	431
	DP34T	H	(mm)	1542	1602
		PN16	(kg)	346	459
		PN40	(kg)	373	502
	DP34Tri	H	(mm)	1764	1824
		PN16	(kg)	380	493
		PN40	(kg)	407	536

Weitere Abmessungen siehe Seiten 14-15.



Antriebsdaten		DP34	DP34T	DP34Tri	DP35
Ø A	(mm)		405		755
Membranfläche	(cm ²)	800	1600	2400	2800
Handnot- verstellung	Ø D1		400		500
	H1	442	635	635	731
	Gewicht	17	41		49

Weitere Technische Daten zum Antrieb: siehe Datenblatt ARI-DP.

max. zulässige Schließdrücke bei Anströmung gegen Schließrichtung des Kegels und bei P2 = 0.
 Begrenzung durch Druck-Temperatur-Zuordnung beachten, siehe Seite 2.

DN						200			250		
Parabolkegel	Kvs-Wert		(m³/h)	250	400	630	400	630	1000		
	max. Differenzdruck ¹⁾		(bar)	20			20				
Lochkegel	Kvs-Wert		(m³/h)	160	250	400	250	400	630		
	max. Differenzdruck ¹⁾		(bar)	30			30				
Sitz-ø			(mm)	125	150	200	150	200	250		
Hub			(mm)	50		65	50	65			
DP34 800 cm² Feder schließt (durch Feder ausfahrend)	Federbereich (bar)	0,8-2,4	2,7	I./II. (bar)	3,8	2,5		2,5			
				III. (bar)	3,8	2,5		2,5			
		1,0-2,0	2,4	I./II. (bar)			1,8		1,8	1,1	
				III. (bar)			1,8		1,8	1,1	
		1,5-3,0	3,3	I./II. (bar)	8,2	5,6		5,6			
				III. (bar)	8,2	5,6		5,6			
		2,0-4,0	4,5	I./II. (bar)	11,3	7,8	4,3	7,8	4,3	2,6	
				III. (bar)	11,3	7,8	4,3	7,8	4,3	2,7	

DN						200			250		
Parabolkegel	Kvs-Wert		(m³/h)	250	400	630	400	630	1000		
	max. Differenzdruck ¹⁾		(bar)	20			20				
Lochkegel	Kvs-Wert		(m³/h)	160	250	400	250	400	630		
	max. Differenzdruck ¹⁾		(bar)	30			30				
Sitz-ø			(mm)	125	150	200	150	200	250		
Hub			(mm)	50		65	50	65			
DP34 800 cm² Stelldruck schließt (durch Feder einfahrend)	erforderlicher Stelldruck (bar) ²⁾	1,4	I./II. (bar)	1,2							
			III. (bar)	1,3 a)							
		2	I./II. (bar)	5	3,4	1,8	3,4	1,8	1,1		
			III. (bar)	5,1 a)	3,4 a)	1,8 a)	3,4 a)	1,8 a)	1,1 a)		
		3	I./II. (bar)	11,3	7,8	4,3	7,8	4,3	2,6		
			III. (bar)	11,4 a)	7,8 a)	4,3 a)	7,8 a)	4,3 a)	2,7 a)		
		4	I./II. (bar)	17,7	12,2	6,7	12,2	6,7	4,2		
			III. (bar)	17,7 a)	12,2 a)	6,7 a)	12,2 a)	6,7 a)	4,2 a)		
		5	I./II. (bar)	24	16,6	9,2	16,6	9,2	5,8		
			III. (bar)	24 a)	16,6 a)	9,2 a)	16,6 a)	9,2 a)	5,8 a)		
		6	I./II. (bar)	30,3	21	11,7	21	11,7	7,4		

- I. Fig. 422: EPDM-Abdichtung
- II. Fig. 422: PTFE- / Reingraphit-Packung
- III. Fig. 462: Faltenbalgabdichtung

¹⁾ max. zul. Differenzdruck bei Durchfluss

²⁾ max. zulässiger Stelldruck: 6 bar Einschränkung: a) 5 bar b) 4,5 bar c) 4 bar d) 3,5 bar e) 3 bar

max. zulässige Schließdrücke bei Anströmung gegen Schließrichtung des Kegels und bei P2 = 0.
 Begrenzung durch Druck-Temperatur-Zuordnung beachten, siehe Seite 2.

DN				200			250			
Parabolkegel	Kvs-Wert		(m³/h)	250	400	630	400	630	1000	
	max. Differenzdruck ¹⁾		(bar)	20			20			
Lochkegel	Kvs-Wert		(m³/h)	160	250	400	250	400	630	
	max. Differenzdruck ¹⁾		(bar)	30			30			
Sitz-ø			(mm)	125	150	200	150	200	250	
Hub			(mm)	50		65	50	65		
<p>DP34T 1600 cm² Feder schließt (durch Feder ausfahrend)</p>	Federbereich (bar)	erforderlicher Stelldruck (bar) ²⁾	1,5	I./II.	(bar)	1,2 b)				
				III.	(bar)	1,3 e)				
			1,7	I./II.	(bar)	3,8 b)	2,5 b)	1,3 b)	2,5 b)	1,3 b)
				III.	(bar)	3,8 e)	2,5 e)	1,3 e)	2,5 e)	1,3 e)
			2,9	I./II.	(bar)	8,8	6		6	
				III.	(bar)	8,8 b)	6 b)		6 b)	
	2,5	I./II.	(bar)			4,3 a)		4,3 a)	2,6 a)	
		III.	(bar)			4,3 c)		4,3 c)	2,7 c)	
	3,5	I./II.	(bar)	17,7	12,2		12,2			
		III.	(bar)	17,7 a)	12,2 a)		12,2 a)			
	4,5	I./II.	(bar)	24	16,6	9,2	16,6	9,2	5,8	
		III.	(bar)	24	16,6	9,2	16,6	9,2	5,8	

DN				200			250			
Parabolkegel	Kvs-Wert		(m³/h)	250	400	630	400	630	1000	
	max. Differenzdruck ¹⁾		(bar)	20			20			
Lochkegel	Kvs-Wert		(m³/h)	160	250	400	250	400	630	
	max. Differenzdruck ¹⁾		(bar)	30			30			
Sitz-ø			(mm)	125	150	200	150	200	250	
Hub			(mm)	50		65	50	65		
<p>DP34T 1600 cm² Stelldruck schließt (durch Feder einfahrend)</p>	erforderlicher Stelldruck (bar) ²⁾	1,5	I./II.	(bar)	5 b)	3,4 b)	1,8 b)	3,4 b)	1,8 b)	1,1 b)
			III.	(bar)	5,1 e)	3,4 e)	1,8 e)	3,4 e)	1,8 e)	1,1 e)
		2	I./II.	(bar)	11,3 b)	7,8 b)	4,3 b)	7,8 b)	4,3 b)	2,6 b)
			III.	(bar)	11,4 e)	7,8 e)	4,3 e)	7,8 e)	4,3 e)	2,7 e)
		3	I./II.	(bar)	24 b)	16,6 b)	9,2 b)	16,6 b)	9,2 b)	5,8 b)
			III.	(bar)	24 e)	16,6 e)	9,2 e)	16,6 e)	9,2 e)	5,8 e)
		4	I./II.	(bar)	36,6 b)	25,4 b)	14,2 b)	25,4 b)	14,2 b)	9 b)

- I. Fig. 422: EPDM-Abdichtung
 II. Fig. 422: PTFE- / Reingraphit-Packung
 III. Fig. 462: Faltenbalgabdichtung

¹⁾ max. zul. Differenzdruck bei Durchfluss

²⁾ max. zulässiger Stelldruck: 6 bar Einschränkung: a) 5 bar b) 4,5 bar c) 4 bar d) 3,5 bar e) 3 bar

max. zulässige Schließdrücke bei Anströmung gegen Schließrichtung des Kegels und bei P2 = 0.
Begrenzung durch Druck-Temperatur-Zuordnung beachten, siehe Seite 2.

DN					200			250								
Parabolkegel	Kvs-Wert		(m³/h)		250	400	630	400	630	1000						
	max. Differenzdruck ¹⁾		(bar)		20			20								
Lochkegel	Kvs-Wert		(m³/h)		160	250	400	250	400	630						
	max. Differenzdruck ¹⁾		(bar)		30			30								
Sitz-ø			(mm)		125	150	200	150	200	250						
Hub			(mm)		50		65	50	65							
<p>DP34Tri 2400 cm² Feder schließt (durch Feder ausfahrend)</p>					Federbereich (bar)	erforderlicher Stelldruck (bar) ²⁾	0,2-1,0	1,5	I./II.	(bar)	2,5 d)	1,6 d)		1,6 d)		
									III.	(bar)	2,5 f)	1,6 f)		1,6 f)		
							0,4-1,2	1,7	I./II.	(bar)	6,3 d)	4,3 d)	2,3 d)	4,3 d)	2,3 d)	1,4 d)
									III.	(bar)	6,3 f)	4,3 f)	2,3 f)	4,3 f)	2,3 f)	1,4 f)
							0,8-2,4	2,9	I./II.	(bar)	13,9 b)	9,5 b)		9,5 b)		
									III.	(bar)	13,9 d)	9,6 d)		9,6 d)		
					1,0-2,0	2,5	I./II.	(bar)			6,7 b)		6,7 b)	4,2 b)		
							III.	(bar)			6,7 e)		6,7 e)	4,2 e)		
					1,5-3,0	3,5	I./II.	(bar)	27,1 a)	18,8 a)	10,4 a)	18,8 a)	10,4 a)	6,6 a)		
					2,0-4,0	4,5	I./II.	(bar)	36,6	25,4	14,2	25,4	14,2	9		

- I. Fig. 422: EPDM-Abdichtung
- II. Fig. 422: PTFE- / Reingraphit-Packung
- III. Fig. 462: Faltenbalgabdichtung

¹⁾ max. zul. Differenzdruck bei Durchfluss

²⁾ max. zulässiger Stelldruck: 5 bar Einschränkung: a) 5 bar b) 4,5 bar c) 4 bar d) 3,5 bar e) 3 bar f) 2,5 bar

max. zulässige Schließdrücke bei Anströmung gegen Schließrichtung des Kegels und bei P2 = 0.
 Begrenzung durch Druck-Temperatur-Zuordnung beachten, siehe Seite 2.

DN						200			250				
Parabolkegel	Kvs-Wert		(m³/h)	250	400	630	400	630	1000				
	max. Differenzdruck ¹⁾		(bar)	20			20						
Lochkegel	Kvs-Wert		(m³/h)	160	250	400	250	400	630				
	max. Differenzdruck ¹⁾		(bar)	30			30						
Sitz-ø			(mm)	125	150	200	150	200	250				
Hub			(mm)	50		65	50	65					
<p>DP35 2800 cm² Feder schließt (durch Feder ausfahrend)</p>		Federbereich (bar)	1,8-3,8	erforderlicher Stelldruck (bar) ²⁾	4,30	I./II.	(bar)	40	40	23,3	40	23,3	14,9

DN						200			250		
Parabolkegel	Kvs-Wert		(m³/h)	250	400	630	400	630	1000		
	max. Differenzdruck ¹⁾		(bar)	20			20				
Lochkegel	Kvs-Wert		(m³/h)	160	250	400	250	400	630		
	max. Differenzdruck ¹⁾		(bar)	30			30				
Sitz-ø			(mm)	125	150	200	150	200	250		
Hub			(mm)	50		65	50	65			
<p>DP35 2800 cm² Stelldruck schließt (durch Feder einfahrend)</p>		erforderlicher Stelldruck (bar) ²⁾	1,5	I./II.	(bar)	12,7 b)	8,7 b)	4,1 b)	8,7 b)	4,1 b)	2,5 b)
2	I./II.		(bar)	23,9 b)	16,6 b)	8,5 b)	16,6 b)	8,5 b)	5,4 b)		
3	I./II.		(bar)	40 b)	32,2 b)	17,3 b)	32,2 b)	17,3 b)	11 b)		
4	I./II.		(bar)		40 b)	26,1 b)	40 b)	26,1 b)	16,7 b)		
4,5	I./II.		(bar)			30,5 b)		30,5 b)	19,5 b)		

- I. Fig. 422: EPDM-Abdichtung
- II. Fig. 422: PTFE- / Reingraphit-Packung
- III. Fig. 462: Faltenbalgabdichtung

¹⁾ max. zul. Differenzdruck bei Durchfluss

²⁾ max. zulässiger Stelldruck: 6 bar Einschränkung: a) 5 bar b) 4,5 bar c) 4 bar d) 3,5 bar e) 3 bar

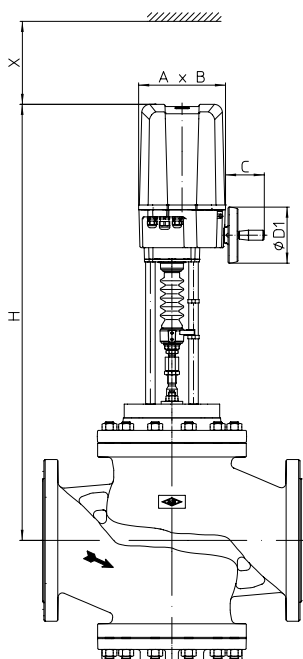
Stellventil in Durchgangsform mit elektrischem Antrieb ARI-PREMIO


Fig. 422

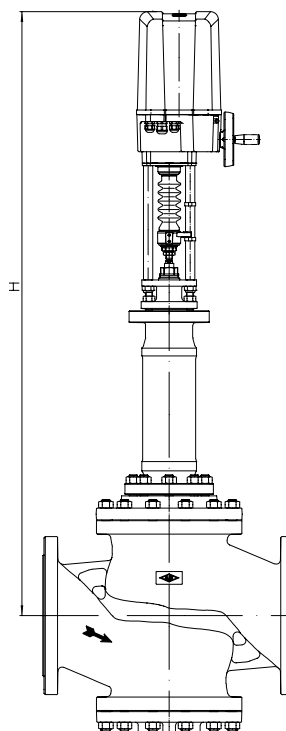


Fig. 462

Antriebsdaten		2,2 - 5 kN	12 - 25 kN
A	(mm)	171	210
B	(mm)	156	184
C	(mm)	50	90
Ø D1	(mm)	90	130
X	(mm)	150	200

Weitere Technische Daten zum Antrieb: siehe Datenblatt ARI-PREMIO / PREMIO-Plus 2G

Bauhöhen und Gewichte

DN				200	250
Fig. 422	5 kN	H	(mm)	843	903
		PN16	(kg)	215	327
		PN40	(kg)	248	396
	12 kN 15 kN	H	(mm)	997	1057
		PN16	(kg)	219	331
		PN40	(kg)	252	400
	25 kN	H	(mm)	953	1013
		PN16	(kg)	220	332
		PN40	(kg)	253	401
Fig. 462	5 kN	H	(mm)	1265	1325
		PN16	(kg)	237	350
		PN40	(kg)	264	393
	12 kN 15 kN	H	(mm)	1434	1494
		PN16	(kg)	241	354
		PN40	(kg)	268	397
	25 kN	H	(mm)	1434	1494
		PN16	(kg)	242	355
		PN40	(kg)	269	398

Weitere Abmessungen siehe Seiten 14-15.

max. zulässige Schließdrücke bei Anströmung gegen Schließrichtung des Kegels und bei P2 = 0.
Begrenzung durch Druck-Temperatur-Zuordnung beachten, siehe Seite 2.

DN			200			250			
Parabolkegel	Kvs-Wert	(m ³ /h)	250	400	630	400	630	1000	
	max. Differenzdruck ¹⁾	(bar)	20			20			
Lochkegel	Kvs-Wert	(m ³ /h)	160	250	400	250	400	630	
	max. Differenzdruck ¹⁾	(bar)	30			30			
Sitz-ø		(mm)	125	150	200	150	200	250	
Hub		(mm)	50		65	50	65		
5 kN	Schließdruck	I./II.	(bar)	2,7	1,8	1,8			
		III.	(bar)						
	Stellzeit	(s)	132			132			
	Stellgeschwindigkeit	(mm/s)	0,38			0,38			
12 kN	Schließdruck	I./II.	(bar)	8,4	5,7	3,1	5,7	3,1	1,9
		III.	(bar)						
	Stellzeit	(s)	132			171	132	171	
	Stellgeschwindigkeit	(mm/s)	0,38			0,38			
15 kN	Schließdruck	I./II.	(bar)	10,8	7,4	4	7,4	4	2,5
		III.	(bar)						
	Stellzeit	(s)	132			171	132	171	
	Stellgeschwindigkeit	(mm/s)	0,38			0,38			
25 kN	Schließdruck	I./II.	(bar)	18,8	13	7,2	13	7,2	4,5
		III.	(bar)						
	Stellzeit	(s)	132			171	132	171	
	Stellgeschwindigkeit	(mm/s)	0,38			0,38			

Weitere Stellgeschwindigkeiten: siehe Datenblatt ARI-PREMIO/PREMIO-Plus 2G.

Stellzeit [s]= $\frac{\text{Hub [mm]}}{\text{Stellgeschwindigkeit [mm/s]}}$
--

- I. Fig. 422: EPDM-Abdichtung
- II. Fig. 422: PTFE- / Reingraphit-Packung
- III. Fig. 462: Faltenbalgabdichtung

¹⁾ max. zul. Differenzdruck bei Durchfluss

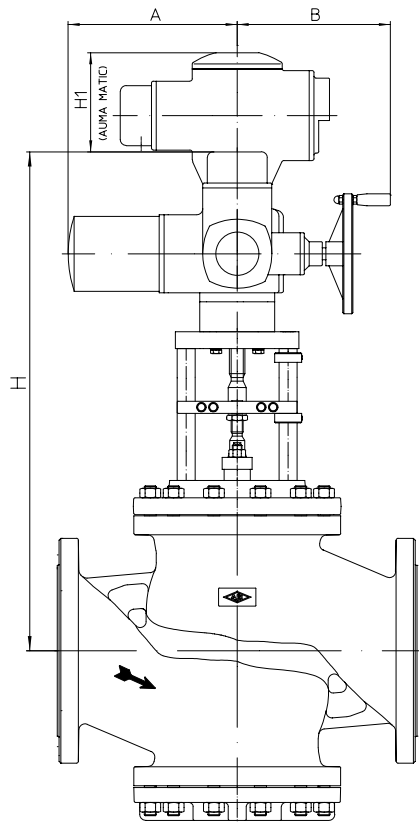
Stellventil in Durchgangsform mit elektrischem Antrieb AUMA


Fig. 422

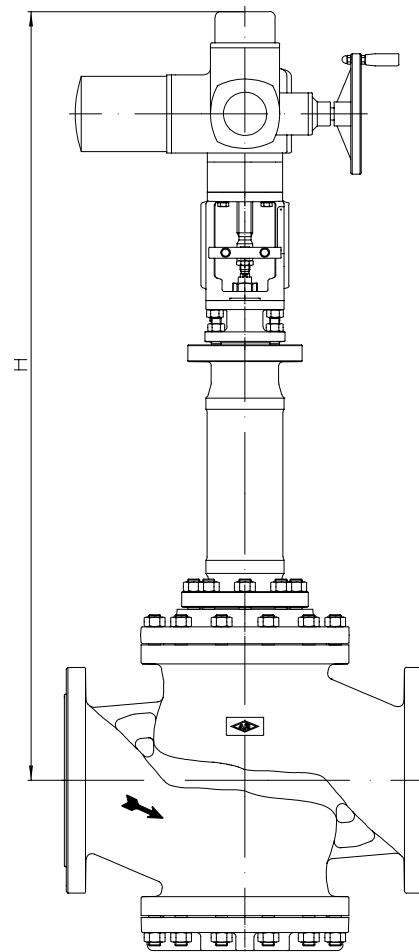


Fig. 462

Antriebsdaten		SAR 07.2	SAR 07.6	SAR 10.2	SAR 14.2	SAR 14.6
A	(mm)	265		283	389	
B	(mm)	249		254	336	339
H1 (AUMA MATIC)	(mm)	130			182	

Versorgungsspannung: 400V 50Hz 3~ (andere Spannungen auf Anfrage)
 Weitere Technische Daten zum Antrieb siehe Leistungsliste.

Bauhöhen und Gewichte

DN			200	250
Fig. 422	SAR 07.6	H (mm)	870	930
		PN16 (kg)	241	353
		PN40 (kg)	274	422
	SAR 10.2	H (mm)	872	932
		PN16 (kg)	243	355
		PN40 (kg)	276	424
	SAR 14.2	H (mm)	913	973
		PN16 (kg)	274	386
		PN40 (kg)	307	455
SAR 14.6 LE100	H (mm)	1117	1231	
	PN16 (kg)	320	432	
	PN40 (kg)	353	501	
Fig. 462	SAR 07.6	H (mm)	1315	1375
		PN16 (kg)	259	372
		PN40 (kg)	286	415
	SAR 10.2	H (mm)	1317	1377
		PN16 (kg)	261	374
		PN40 (kg)	288	417

Bei Ausführung mit SAR Ex andere Bauhöhen.

Weitere Abmessungen siehe Seiten 14-15.

max. zulässige Schließdrücke bei Anströmung gegen Schließrichtung des Kegels und bei P2 = 0.
 Begrenzung durch Druck-Temperatur-Zuordnung beachten, siehe Seite 2.

Fig. 422

DN				200			250			
Parabolkegel	Kvs-Wert		(m ³ /h)	250	400	630	400	630	1000	
	max. Differenzdruck ¹⁾		(bar)	20			20			
Lochkegel	Kvs-Wert		(m ³ /h)	160	250	400	250	400	630	
	max. Differenzdruck ¹⁾		(bar)	30			30			
Sitz-ø			(mm)	125	150	200	150	200	250	
Hub			(mm)	50		65	50	65		
SAR 07.6 Abtrieb Form A TR 26 x 5 - LH	Schließdruck	I./II.	absperren	(bar)	17,3	11,9	6,6	11,9	6,6	4,1
			regeln ²⁾	(bar)	8	5,5	2,9	5,5	2,9	1,8
	Drehmoment			(Nm)	60			60		
	Stellzeit (50 Hz)			(s)	55		71	55	71	
Abtriebsdrehzahl			(min ⁻¹)	11			11			
SAR 10.2 Abtrieb Form A TR 26 x 5 - LH	Schließdruck	I./II.	absperren	(bar)	35,8	24,8	13,9	24,8	13,9	8,8
			regeln ²⁾	(bar)	17,3	11,9	6,6	11,9	6,6	4,1
	Drehmoment			(Nm)	120			120		
	Stellzeit (50 Hz)			(s)	55		71	55	71	
Abtriebsdrehzahl			(min ⁻¹)	11			11			
SAR 14.2 Abtrieb Form A TR 30 x 6 - LH	Schließdruck	I./II.	absperren	(bar)	40	40	23,9	40	23,9	15,3
			regeln ²⁾	(bar)	28,9	20	11,1	20	11,1	7,1
	Drehmoment			(Nm)	175	250		250		
	Stellzeit (50 Hz)			(s)	63		59	63	59	
Abtriebsdrehzahl			(min ⁻¹)	8		11	8	11		
SAR 14.6 mit LE100.1	Schließdruck	I./II.	absperren	(bar)	40	40	31,6	40	31,6	20,2
			regeln ²⁾	(bar)	40	27,7	15,5	27,7	15,5	9,8
	Drehmoment			(Nm)	400			400		
	Stellzeit (50 Hz)			(s)	54		70	54	70	
Abtriebsdrehzahl			(min ⁻¹)	8			8			

Fig. 462

DN				200			250			
Parabolkegel	Kvs-Wert		(m ³ /h)	250	400	630	400	630	1000	
	max. Differenzdruck ¹⁾		(bar)	20			20			
Lochkegel	Kvs-Wert		(m ³ /h)	160	250	400	250	400	630	
	max. Differenzdruck ¹⁾		(bar)	30			30			
Sitz-ø			(mm)	125	150	200	150	200	250	
Hub			(mm)	50		65	50	65		
SAR 07.6 Abtrieb Form A TR 26 x 5 - LH	Schließdruck	III.	absperren	(bar)	17,3	11,9	6,6	11,9	6,6	4,1
			regeln ²⁾	(bar)	8	5,5	3	5,5	3	1,8
	Drehmoment			(Nm)	60			60		
	Stellzeit (50 Hz)			(s)	55		71	55	71	
Abtriebsdrehzahl			(min ⁻¹)	11			11			
SAR 10.2 Abtrieb Form A TR 26 x 5 - LH	Schließdruck	III.	absperren	(bar)	26,6	18,4	10,2	18,4	10,2	6,5
			regeln ²⁾	(bar)	17,3	11,9	6,6	11,9	6,6	4,1
	Drehmoment			(Nm)	90			90		
	Stellzeit (50 Hz)			(s)	55		71	55	71	
Abtriebsdrehzahl			(min ⁻¹)	11			11			

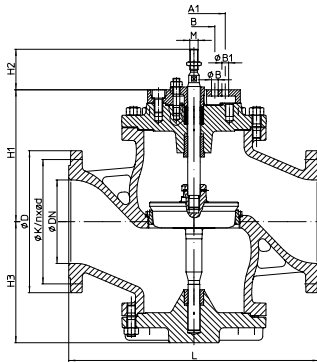
I. Fig. 422: EPDM-Abdichtung

II. Fig. 422: PTFE- / Reingraphit-Packung

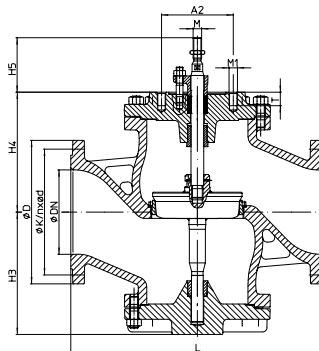
III. Fig. 462: Faltenbalgabdichtung

¹⁾ max. zul. Differenzdruck bei Durchfluss

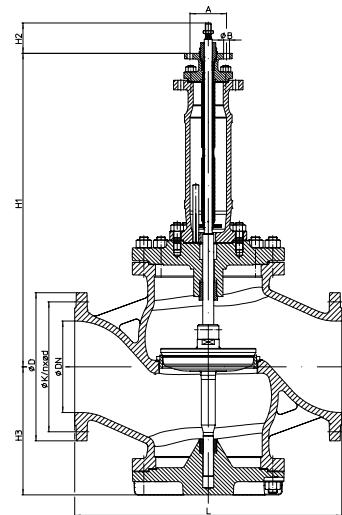
²⁾ Begrenzung durch max. zulässiges Drehmoment des Antriebs im Regelbetrieb.

Stellventil in Durchgangsform

Fig. 422
DN200-250

(z.B.: DP34-34Tri; PREMIO 12-15kN)

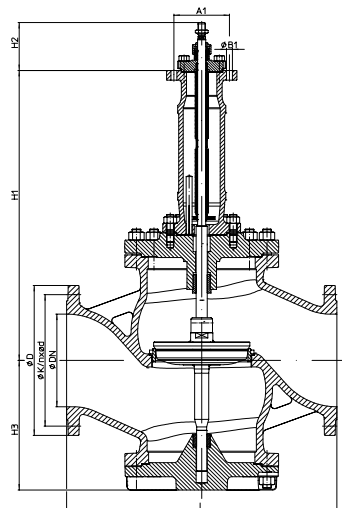

Fig. 422
DN200-250

(z.B.: AUMA SAR 07.6-10.2)


Fig. 462
DN200-250 M16

(z.B.: PREMIO 5-15kN; AUMA SAR 07.6-10.2)

DN		200	250		
Abmessungen					
M	Fig. 422	(mm) M20			
	Fig. 462	M16	M20	M16	M20
H1	Fig. 422	316		376	
	Fig. 462	797	723	857	783
H2	Fig. 422	98			
	Fig. 462	83	130	83	130
H3	Fig. 422 / 462	283		350	
H4	Fig. 422	284		340	
H5	Fig. 422	130			
	Fig. 462	100	--	100	--
A	Fig. 422	100			
	Fig. 462	100	--	100	--
n x ØB	Fig. 422	2 x 16			
	Fig. 462	2 x 16	--	2 x 16	--
A1	Fig. 422	150			
	Fig. 462	--	150	--	150
n x ØB1	Fig. 422	4 x 16			
	Fig. 462	--	4 x 16	--	4 x 16
A2	Fig. 422	170			
n x M1	Fig. 422	8 x M20			
T	Fig. 422	32			


Fig. 462
DN200-250 M20

(z.B.: DP34-34Tri)

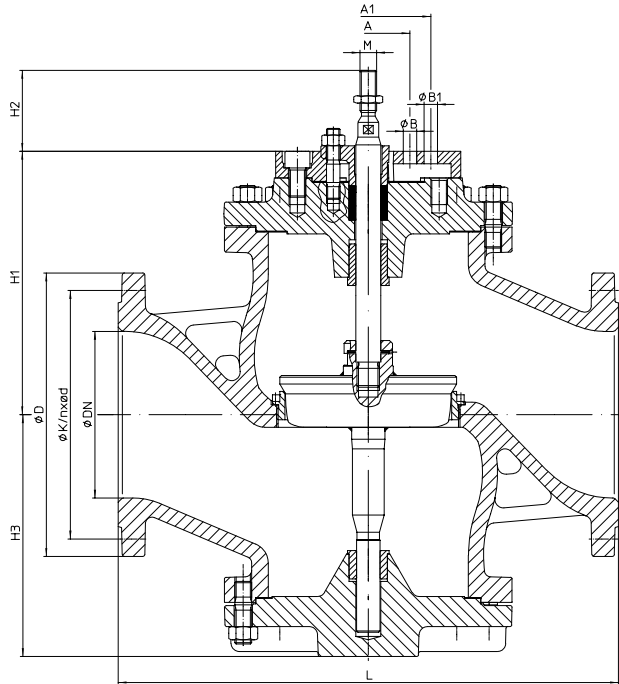
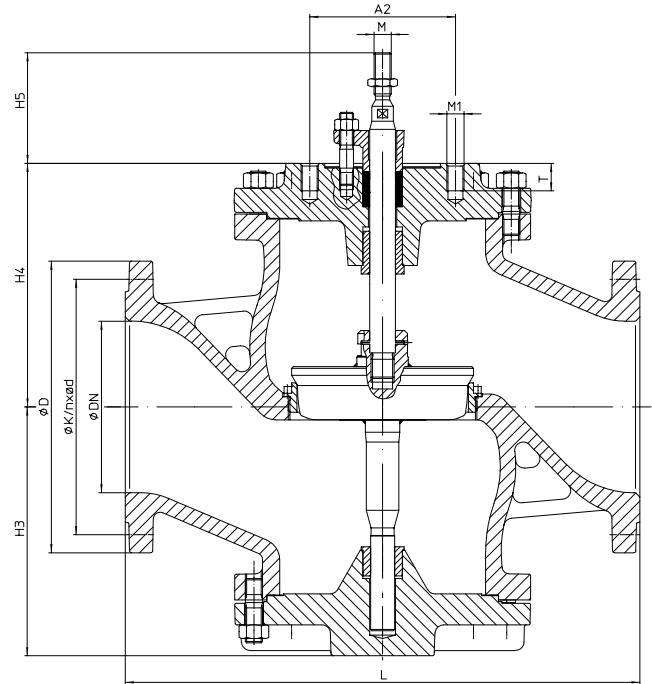
Baulänge FTf Grundreihe 1 nach DIN EN 558		
L	(mm)	600 / 730

Flansche nach DIN EN 1092-1/-2			Flanschbohrungen/-dickentoleranzen nach DIN 2533/2544/2545	
ØD	PN16	(mm)	340	405
	PN25	(mm)	360	425
	PN40	(mm)	375	450
ØK	PN16	(mm)	295	355
	PN25	(mm)	310	370
	PN40	(mm)	320	385
n x Ød	PN16	(mm)	12 x 22	12 x 26
	PN25	(mm)	12 x 26	12 x 30
	PN40	(mm)	12 x 30	12 x 33

Gewichte				
Fig. 422	PN16 (JL 1040)	(kg)	208	320
	PN40 (1.0619+N)	(kg)	241	389
Fig. 462	PN16 (JL 1040)	(kg)	230	343
	PN40 (1.0619+N)	(kg)	257	386

max. zul. Stellkraft		
Fig. 422	(kN)	59,1
Fig. 462	(kN)	34

Stellventil in Durchgangsform


 Fig. 422
DN200-250

 Fig. 422
DN200-250
(z.B.: DP35; AUMA SAR 14.2-14.6)

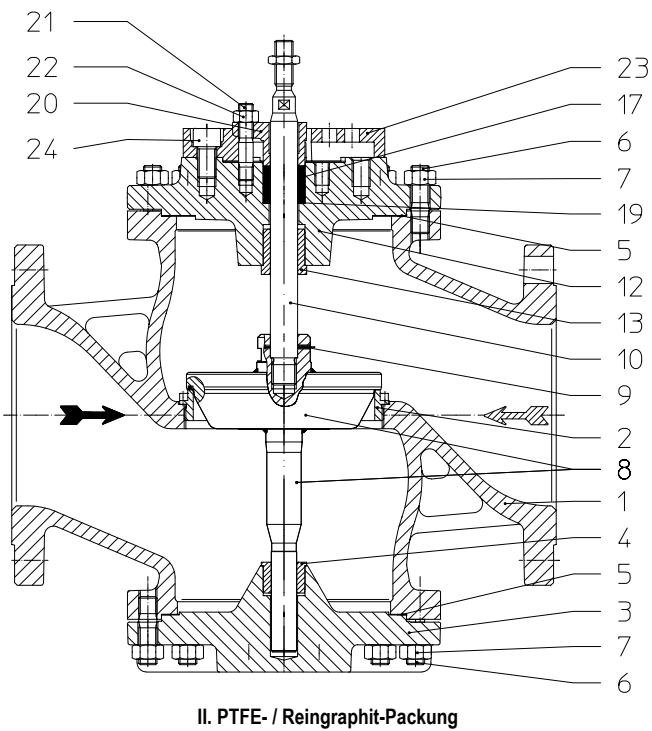
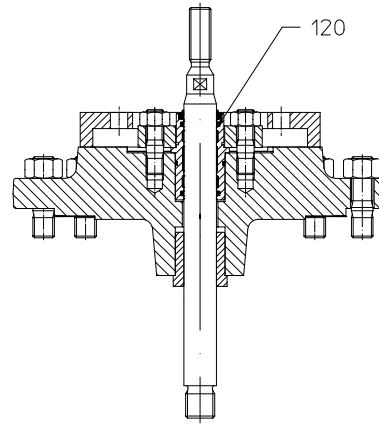
DN		200	250
Abmessungen			
M	Fig. 422	(mm)	M27
H1	Fig. 422	(mm)	316
H2	Fig. 422	(mm)	98
H3	Fig. 422	(mm)	283
H4	Fig. 422	(mm)	284
H5	Fig. 422	(mm)	130
A	Fig. 422	(mm)	100
n x ØB	Fig. 422	(mm)	2 x 16
A1	Fig. 422	(mm)	150
n x ØB1	Fig. 422	(mm)	4 x 16
A2	Fig. 422	(mm)	170
n x M1	Fig. 422	(mm)	8 x M20
T	Fig. 422	(mm)	32

Baulänge FTF Grundreihe 1 nach DIN EN 558			
L	(mm)	600	730

Flansche nach DIN EN 1092-1/-2			
ØD	PN16	(mm)	340
	PN25	(mm)	360
	PN40	(mm)	375
ØK	PN16	(mm)	295
	PN25	(mm)	310
	PN40	(mm)	320
n x Ød	PN16	(mm)	12 x 22
	PN25	(mm)	12 x 26
	PN40	(mm)	12 x 30

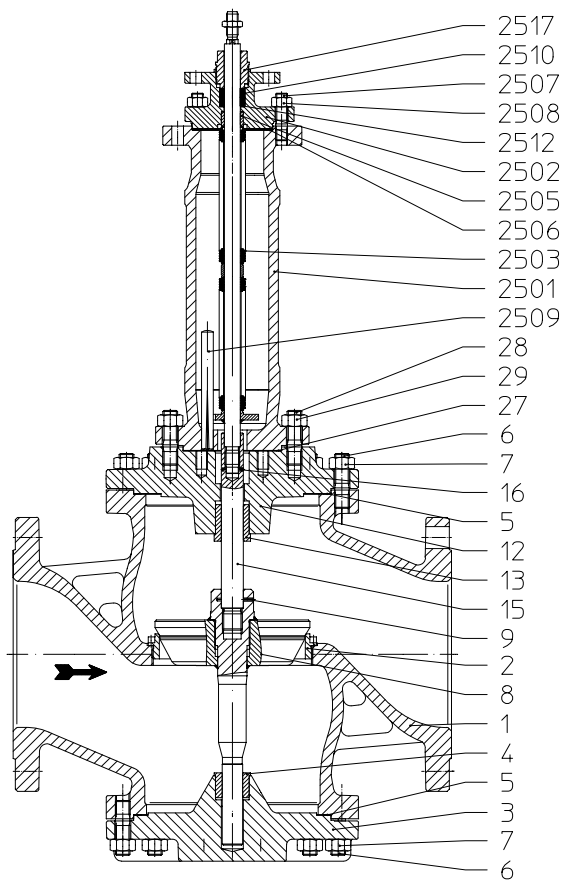
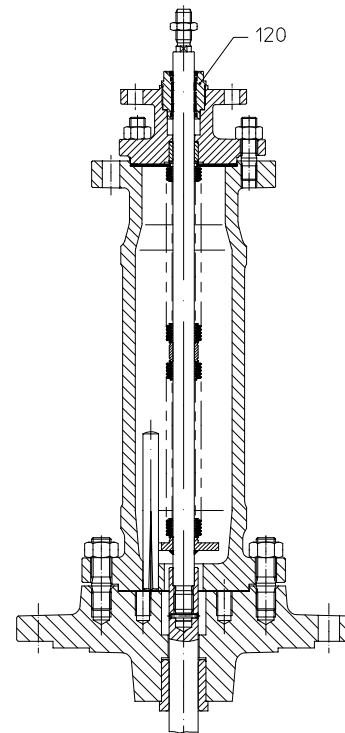
Gewichte			
Fig. 422	PN16 (JL 1040)	(kg)	208
	PN40 (1.0619+N)	(kg)	241

max. zul. Stellkraft			
Fig. 422	(kN)	112	


II. PTFE- / Reingraphit-Packung

I. EPDM-Abdichtung

Pos.	Ers.	Bezeichnung	Fig. 12.422	Fig. 22.422	Fig. 34.422 / Fig. 35.422
1		Gehäuse	EN-GJL-250, EN-JL1040	EN-GJS-400-18U-LT, EN-JS1049	GP240GH+N, 1.0619+N
2	x	Sitzring	X20Cr13+QT, 1.4021+QT		
3		Deckel	EN-GJS-400-18U-LT, EN-JS1049		GP240GH+N, 1.0619+N
4		Führungsbuchse	X20Cr13+QT, 1.4021+QT (gehärtet)		
5	x	Flachdichtung	Reingraphit (mit CrNi-Stahlfolieneinlage)		
6		Stiftschrauben	25CrMo4, 1.7218		
7		Sechskantmuttern	C35E, 1.1181		
8	x	Kegel	X20Cr13+QT, 1.4021+QT		
9	x	Spannhülse	56Si7, 1.5026		
10	x	Spindel	X20Cr13+QT, 1.4021+QT		
12		Stopfbuchsgehäuse	EN-GJS-400-18U-LT, EN-JS1049		GP240GH+N, 1.0619+N
13		Führungsbuchse	X20Cr13+QT, 1.4021+QT (gehärtet)		
17	x	Packungsringe	PTFE oder Reingraphit		
19	x	Scheibe	X5CrNi18-10, 1.4301		
20		Stopfbuchsbrille	EN-GJS-400-15, EN-JS1030		GP240GH+N, 1.0619+N
21		Stiftschrauben	25CrMo4, 1.7218		
22		Sechskantmuttern	C35E, 1.1181		
23		Adapterflansch	EN-GJS-400-18U-LT, EN-JS1049		
24		Zylinderschraube	8.8		
↳ Ersatzteile					

Spindelabdichtungen Fig. 422					
17	x	Packungsringe	PTFE		
17	x	Packungsringe	Reingraphit		
120	x	EPDM-Abdichtung	EPDM / X20Cr13+QT, 1.4021+QT / X8CrNiS18-9, 1.4305		
↳ Ersatzteile					


III. Reingraphit-Packung

III. EPDM-Abdichtung

Pos.	Ers.	Bezeichnung	Fig. 12.462	Fig. 22.462	Fig. 34.462 / Fig. 35.462
1		Gehäuse	EN-GJL-250, EN-JL1040	EN-GJS-400-18U-LT, EN-JS1049	GP240GH+N, 1.0619+N
2	x	Sitzring	X20Cr13+QT, 1.4021+QT		
3		Deckel	EN-GJS-400-18U-LT, EN-JS1049		GP240GH+N, 1.0619+N
4		Führungsbuchse	X20Cr13+QT, 1.4021+QT (gehärtet)		
5	x	Flachdichtung	Reingraphit (mit CrNi-Stahlfolieneinlage)		
6		Stiftschrauben	25CrMo4, 1.7218		
7		Sechskantmuttern	C35E, 1.1181		
8	x	Kegel	X20Cr13+QT, 1.4021+QT		
9	x	Spannhülse	56Si7, 1.5026		
12		Stopfbuchsgehäuse	EN-GJS-400-18U-LT, EN-JS1049		GP240GH+N, 1.0619+N
13		Führungsbuchse	X20Cr13+QT, 1.4021+QT (gehärtet)		
15	x	Spindelverlängerung	X20Cr13+QT, 1.4021+QT		
16	x	Spannhülse	X10CrNi18-8, 1.4310		
2501		Faltenbalggehäuse	EN-GJS-400-18U-LT, EN-JS1049		GP240GH+N, 1.0619+N
2502		Traversendeckel	EN-GJS-400-18U-LT, EN-JS1049		GP240GH+N, 1.0619+N
2503	x	Spindel- / Faltenbalgeinheit	X20Cr13+QT, 1.4021+QT / X6CrNiTi18-10, 1.4541		
2505		Führungsbuchse	X20Cr13+QT, 1.4021+QT (gehärtet)		
2506	x	Flachdichtung	Reingraphit (mit CrNi-Stahlfolieneinlage)		
2507		Stiftschrauben	25CrMo4, 1.7218		
2508		Sechskantmuttern	C35E, 1.1181		
2509		Passkerbstift	St		
2510	x	Packungsringe	Reingraphit		
2512	x	Scheibe	X5CrNi18-10, 1.4301		
2517	x	Verschraubung	X8CrNiS18-9, 1.4305		
27	x	Flachdichtung	Reingraphit (mit CrNi-Stahlfolieneinlage)		
28		Stiftschrauben	25CrMo4, 1.7218		
29		Sechskantmuttern	C35E, 1.1181		
		↳ Ersatzteile			

Spindelabdichtungen Fig. 462					
120	x	EPDM-Abdichtung	EPDM / X20Cr13+QT, 1.4021+QT / X8CrNiS18-9, 1.4305		
2510	x	Packungsringe	Reingraphit		
		↳ Ersatzteile			

myValve® - Ihr Auslegungsprogramm.

Mit myValve® steht Ihnen ein Programm zur Verfügung, mit dem Sie Ihre Anlagenkomponenten nicht nur berechnen, sondern zum gewählten Produkt in kürzester Zeit auch alle weiteren Daten abrufen können, wie z.B. Bestellangaben, Ersatzteilzeichnungen, Betriebsanleitungen, Datenblätter, etc.



- Inhalte:** **Modul ARI-Stellventile STEVI-Berechnung**
- Größenbemessung (Berechnung von Durchfluss Koeffizient Kv, Durchflusses Q, Druckverlust Δp , Geräuschpegel und Auswahl der Ventilgröße bei gegebener Leistung)
- Medien:** **Integrierte Mediendatenbank (über 160 Stoffe) mit Zuständen:**
- Gase / Dämpfe
 - Wasserdampf (gesättigt und überhitzt)
 - Flüssigkeiten
- Besonderheiten:**
- Projektverwaltung der Berechnungs- und Produktdaten incl. Ersatzteilzeichnung pro Projekt- und Tag-Nummer.
 - Direkte Ausgabe der Berechnungs- und Produktdaten im PDF-Format.
 - Produktdaten können für eine direkte Bestellung genutzt werden.
 - SI- und ANSI-Einheiten mit einzelner direkter Umrechnung ineinander.
 - Einstellung mit Überdruck oder Absolutdruck.
 - Alle ARI-Ventile in einer Datenbank integriert.
 - Direkter Zugriff pro Produkt auf Datenblätter, Betriebsanleitungen, Druck-Temperatur-Diagramme, Reglerkennlinien und Ersatzteilzeichnungen
 - Betrieb im Firmennetzwerk möglich (keine aufwendige Installation auf einzelnen PC's notwendig).
 - Umfangreicher Auswahl-Katalog über mehrere Produktgruppen.
- Systemvoraussetzungen:** Windows-Betriebssysteme, Linux, etc.